



Response to Morphine in a unicellular animal model (*Paramecium caudatum*)

Seyed Sajad Shahrokhi¹, Manizheh Karami^{*1}, Bahram Kazemi²

1. Dept. Biology, Faculty of Basic Sciences, Shahed University, Tehran, Iran

2. Cellular and Molecular Researches Center at Shahid Beheshti University of Medical Sciences, Tehran, Iran

Received: 5 Mar 2011

Accepted: 4 Aug 2011

Abstract

Introduction: Response to morphine and role of Nitric Oxide (NO) on expression of morphine response has been studied in vertebrates. But, little evidence is provided in the matter in earlier invertebrates. This investigation for the first time evaluated the effect of NO on expression of morphine potency in *Paramecium caudatum*.

Methods: Animal after isolation from natural media and specific identification was cultured in laboratory. 1 ml of the isolated medium including the animals was added into the Sedgwick– Rafter cell counter. One μ l of drugs was infused into the cell counter. Morphine (1-60 μ g/ μ l) was infused into the cell and its effect was recorded throughout 0-180 sec. L-Arginine (1-8 μ g/ μ l), a NO precursor, was infused prior to morphine (2 μ g/ μ l). The NO producing enzyme was inhibited by preinfusion of L-NAME. Also the naloxone was used to show the involvement of the opioid receptors in the signaling of morphine response. In control specimens distilled water was added solely.

Results: The Paramecia under the infusion of morphine were aggregated. The most aggregation rate was observed at a relatively low dose of the drug (2 μ g/ μ l). L-Arginine showed a positive effect on the response ($p<0.001$) whereas the effect was blocked by preinfusion of the L- NAME. Naloxone showed an inhibitory effect to morphine response. The activity of the NOS was shown by using the NADPH-diaphorase.

Conclusion: A sign of morphine potency in single-celled animal is the cell aggregation, and the present results are showing the interaction of NO system with the opioidergic system in this line. On the other hand, concerning the potentiation effect of L-arginine on morphine effective dose in the model, this finding may be useful in reducing of morphine's side effects in patients under the treatment of the drug, and in the drug economy as well.

Key words: *Paramecium caudatum*, Morphine Potency, Nitric oxide

* Corresponding author e-mail: karami@shahed.ac.ir
Available online at: www.phypha.ir/ppj



پاسخ مرفین در مدل حیوانی تک یاخته‌ای (*Paramecium caudatum*)

سید سجاد شاهرخی^۱، منیژه کرمی^{۲*}، بهرام کاظمی^۳

۱. گروه زیست‌شناسی، دانشکده علوم پایه، دانشگاه شاهد، تهران

۲. مرکز تحقیقات سلولی و مولکولی، دانشگاه علوم پزشکی شهید بهشتی، تهران

پذیرش: ۱۳ مرداد ۹۰

دریافت: ۱۴ اسفند ۸۹

چکیده

مقدمه: پاسخ مرفین و نقش عوامل مختلف به ویژه نیتریک اکساید (NO) بر بیان آن در مهره داران مطالعه شده است، اما شواهد کافی برای این مساله در بی مهرگان پست وجود ندارد. در این پژوهش نقش NO در بیان قدرت مرفین در *Paramecium caudatum* برای اولین بار مورد مطالعه قرار گرفت.

روش ها: نمونه حیوانی پس از محیط طبیعی و تأیید گونه در آزمایشگاه پرورش داده شد. یک میلی لیتر از محیط کشت خالص به لام سلول شمار Sedgwick-Rafter اضافه و دارو در حجم یک μl تلقیح شد. اثر تلقیح مرفین ($\mu\text{g}/\text{ml}$ -60-1) طی فواصل زمانی (sec-0-180-0) گزارش گردید. ال-آرژینین ($\mu\text{g}/\text{ml}$ -1-8) پیش ساز NO، قبل از مرفین ($\mu\text{g}/\text{ml}$ -2) تلقیح و آنژیم مولد NO با پیش تجویز L-NAME مهار شد. همچنین برای نشان دادن دخالت گیرنده های اپیوئیدی در اثرات مرفین از Naloxone استفاده شد. فعالیت سیستم NO با NADPH-diaphorase مورد بررسی قرار گرفت. در نمونه های شاهد آب مقطر اضافه شد.

یافته ها: سلول های *P. caudatum* تحت تأثیر مرفین مجمع شدن و بیشترین حالت تجمع نیز تحت дوز نسبتاً پائین مرفین ($\mu\text{g}/\text{ml}$ -2) مشاهده شد. ال-آرژینین اثر مثبت بر این فرایند داشت ($p < 0.001$) در حالیکه پیش تجویز L-NAME این اثرات را متوقف کرد. Naloxone نیز تأثیر مهاری نشان داد. تغییر فعالیت آنژیم نیتریک اکساید سینتاز (Nitric Oxide Synthase) در *P. caudatum* با NADPH-diaphorase (Nitric Oxide Synthase) با سیستم اپیوئیدی در

نتیجه گیری: یکی از اثرات داروئی مرفین در مدل حیوانی تک یاخته‌ای بروز تجمع سلولی است و نتایج فوق نشان می دهد که سیستم NO با سیستم اپیوئیدی در *P. caudatum* در این راستا تداخل دارد. از طرف دیگر با توجه به پاسخ تقویتی ال-آرژینین بر دوز موثر مرفین، این یافته می تواند در راستای کاهش اثرات جانبی مرفین (در بیماران تحت درمان با مرفین) و مسائل مربوط به اقتصاد دارویی ارزشمند باشد.

واژه های کلیدی: *P. caudatum*، قدرت مرفین، نیتریک اکساید

مقدمه

نیتریک اکساید سینتاز (Nitric Oxid Synthase) است اولین بار در ماکروفازها و سلول های انوتیال پستانداران شرح داده شد و امروزه لاقل سه ایزوفرم اصلی (NOS₁, NOS₂, NOS₃) از آن در پستانداران معرفی شده است [۱۷, ۳]. اما در رابطه با این مولکول سیگناال و نقش آن در بروز اثرات داروئی مرفین در جانوران بی مهره شواهد کافی در دست نیست. از جمله محدود شواهد موجود می توان به تأثیر مرفین در تولید NO در *Ascaris suum* (نوعی نماتد) اشاره کرد [۲۵] و نیز مطالعاتی برای معرفی روند انتقال سیگناال مرفین و

نیتریک اکساید (Nitric Oxide) مولکول کوچک و گازی شکل است که در انجام بسیاری از فرایندها مشارکت می کند. اهمیت این عامل در القای اثرات مرفین در مدل های حیوانی نشان داده شده است [۱۲]. مسئول بیوسنتر این عامل آنژیم

karami@shahed.ac.ir
www.phypha.ir/ppj

*نویسنده مسئول مکاتبات:
وبگاه مجله:

آبگیرهای کم عمق و آبگاهها جمع آوری و با کشت طبیعی (خیسانده یونجه) در آزمایشگاه نگه داری و تائید گونه ای شد [۱۰, ۱۱].

به منظور کشت و پرورش حیوان در آزمایشگاه ابتدا مقداری یونجه خشک (۵ گرم) را در ۵۰۰ میلی لیتر آب به مدت ۱۰ دقیقه جوشانده و مخلوط را پس از خنک شدن در شیشه درب دار در دمای 4°C (به عنوان محیط غذایی پایه) نگه داشت. برای تهیه محیط کشت طبیعی به ازای هر ۲۰۰ آب ۲۰ میلی لیتر از محیط مغذی یونجه اضافه شد، سپس تک یاخته مورد نظر با کمک پیپت به این محیط تلقیح گردید. در نهایت هر ۷۲ ساعت یک بار، پاساز کشت تک یاخته مورد نظر از محیط قلی به محیط تازه انجام گرفت و این عمل تا آنچه که کشت نسبتاً خالصی از تک یاخته مورد نظر تهیه شود، تکرار گردید. سرانجام فرایند کشت دادن در محیط مصنوعی به اجرا درآمد [۱۱].

برای تهیه محیط کشت مصنوعی ۲ گرم مخمر در یک لیتر آب مقطر حل و حاصل پس از اتوکلاو در دمای 4°C نگه داری شد. به منظور تهیه محیط کشت حاوی تک یاخته مورد نظر، به ازای هر ۶۰ ml از این محیط که در پتری دیش استریل اضافه می‌شد، تعدادی میکرووارگانیسم از محیط کشت طبیعی به کمک پیپت به این محیط تلقیح شد. در نهایت هر ۷۲ ساعت یک بار، پاساز کشت از محیط قبلی به محیط تازه، انجام شد و این عمل تا زمانی که مطالعات رفتاری و سیتوشیمیابی به پایان برسد، ادامه پیدا کرد.

P.caudatum pH بهینه برای رشد سلول‌های در محدوده 6.8 ± 0.2 می‌باشد. برای تنظیم pH در این محدوده از محلول‌های استیک اسید و سود $1/10$ نرمال استفاده شد [۱۱]. *P.caudatum* همچنین دمای بهینه برای رشد سلول‌های در محدوده 32 ± 2 درجه سانتیگراد می‌باشد [۱۴]، جهت تنظیم دما، محیط کشت حاوی *P.caudatum* در شرایط آزمایشگاه تحت دمای 32 ± 2 درجه سانتیگراد نگه داری شد و مطالعات رفتاری در همین محدوده دمایی به انجام رسید.

مواد مورد استفاده عبارتند از: Morphine sulphate (خریداری شده از شرکت تماد با مجوز رسمی از وزارت بهداشت)، L-arginine (N^G -Sigma-USA) (از شرکت L-Arginine methyl ester) L-NAME

-اندوروفین در تعدادی حیوان تک یاخته ای مژه دار مانند *Tetrahymena*, *Paramecium*, *Stentor* است که برهمنکش این مواد را با رسپتورهای اپیوئیدی و G-پروتئین‌ها در سطح این مدل‌های سلولی نشان می‌دهد [۱۵, ۱۶]. اما از آنجا که شناخت مولکول‌های هدف مواد اپیوئیدی مانند مرفين در سطح سلولی دارای کاربردهای بسیار مهم فارماکولوژیک است که به گستردگی عملی استفاده داروئی این مواد در حیوانات و انسان می‌انجامد هرگونه مطالعه در سطح سلولی و مولکولی باعث روشن تر شدن جریانات بیوشیمیابی مداخله کننده در بیان تاثیرات داروئی این مواد و صرفه بهداشتی-اقتصادی خواهد شد. با گستردگی عمل NO در سلسله جانوری، دور از انتظار نخواهد بود اگر عامل مذکور در تک یاختگان نیز عملکرد مؤثر و مشابه با آنچه در حیوانات عالی تر و حتی انسان گزارش گردیده است در تمامی فرآیندهای حیاتی از جمله اثرات داروئی مرفين داشته باشد، زیرا در *P.caudatum* بیومولکول‌های هدف NO مانند گوانیلیل سیکلاز [۱۳]، کانال پتاسیم و کانال کلسیمی دریچه دار وابسته به ولتاژ [۹, ۱۹, ۲۰, ۲۲]، کالمودولین [۴] (یکی از پروتئین‌های لازم برای فعالیت آنزیم NOS) و یک پروتئین با وزن ۱۵۵kDa [۱۴] که بسیار شبیه به آنزیم NOS₁ پستانداران می‌باشد به دست آمده است. قدرت دارویی (Drug Potency) مواد مخدر مانند مرفين یکی از مشخصه‌های بارز فارماکودینامیک برای معرفی پاسخ موجود زنده به این مواد است [۱۰, ۲۱] در حالیکه ساز و کارهای سیتوشیمیابی این جریان به وضوح تبیین نشده است تنها به دخالت بعضی مولکول‌ها از جمله NO در این روند استناد شده است همچنانکه پاسخ ضد دردی مواد اپیوئیدی (به ویژه مرفين) و نیز جریانات یادگیری و حافظه را در مهره داران به سیستم نتریک ارژیک نیز منتبه می‌دانند [۵, ۱۲, ۱۸, ۲۴]. بنابراین مطالعه پاسخ مرفين در بی‌مهرگان، به ویژه مدل‌های حیوانی تک یاخته ای مانند *Paramecium caudatum* می‌تواند به شناخت پایه‌های زیستی اثرات مواد مخدر و در راس آن‌ها مرفين بیانجامد.

مواد و روش‌ها

از ایستگاه‌های آب شیرین موقت، از جمله

- عملیات زیر، مرحله به مرحله و بلا فاصله به اجرا در آمد.
- ۱- آبدهی: با شستشو در درجات نزولی الكل از 96° تا 50° هریک به مدت ۳ ثانیه و سپس شستشو در آب به مدت ۱۰ ثانیه.
 - ۲- رنگ آمیزی اختصاصی: برای رنگ آمیزی اختصاصی سیتوشیمیایی NADPH-d بر روی هر نمونه لام فیکس شده به نسبت مساوی از محلول های NADPH (1mg/ml) در بافر (Nitro Blue N.B.T ۰.۲ mg/ml) از F-سفات، و Tetrazolium) در بافر F-سفات اضافه شد (باfer F-سفات به عنوان حلال تحت $pH=7$ استفاده شد). به این ترکیب چند قطره Triton-x-100 (به عنوان Detergent مواد و رنگ های اضافی) که به کمک باfer رقیق شده بود ($\frac{1}{3}\%$) اضافه گردید، و هر لام به مدت چند ثانیه تکان داده شد تا برای مراحل بعدی آماده شود.
 - ۳- انکوباسیون تحت دمای $34^{\circ}C$: هر یک از لام های فیکس شده که با روش فوق تحت رنگ آمیزی اختصاصی سیتوشیمیایی NADPH-d واقع شد، در بنماری $40^{\circ}C$ به مدت ۳۰ دقیقه نگه داری گردید. سپس نمونه از بنماری خارج شده، جهت شستشوی رنگ، نمونه از آب مقطر سریعاً عبور داده و برای مرحله بعد آماده شد.
 - ۴- آب گیری با درجات افزایشی الكل از 50° تا 96° هر یک به مدت ۳ ثانیه.
 - ۵- شفاف سازی با دو تعویض گزیل هریک به مدت ۱۵ ثانیه.
 - ۶- چسباندن (Mounting): در نهایت هر نمونه لام به کمک چسب انتلان (Entellan) خریداری شده از شرکت Merck چسبانده شد.
- تجزیه و تحلیل آماری اولیه با استفاده از آزمون Kolmogorov Smirnov (K.S.) مشخص کرد که داده ها دارای توزیع نرمال هستند. سپس با استفاده از آنالیز واریانس SPSS (ANOVA) یک طرفه در محیط نرم افزار آماری معنی دار بودن اختلافات گروه های تحت آزمایش نسبت به کنترل نشان داده شد. در ادامه به منظور بررسی اختلافات بین گروه ها، با تست های Post-hoc (LSD و HSD) مقایسه شد. اختلاف داده های (اعداد) ثانیه محاسبات بیشتر انجام شد. شصتم پس از تزریق دوز های مختلف به داده های ثانیه پنجم به

-USA Biochemical Research Inc., (Naloxone hydrochloride) (از شرکت تولید دارو).

برای تلقیح دارو به محیط کشت نمونه تک یاخته ای و تهیه دوز های مشخصی از داروهای این مواد با ترازوی دقیق توزین و در آب مقطر به صورت محلول تهیه گردیده و در نهایت در حجم یک میکرولیتر توسط سرنگ همیلتون تلقیح شد. قبل از هر بار تلقیح داروئی، ابتدا ۱ میلی لیتر از محیط کشت حاوی سلول های *P.caudatum* به درون لام استاندارد و مخصوص شمارش سدویک-رافتر (Sedgwick-Rafter Counting Chamber) منتقل داده شد، طوری که تراکم سلول های *P.caudatum* در درون لام برابر با 250 paramecia/ml و دمای محیط در زمان مطالعات رفتاری 32 ± 2 درجه سانتیگراد و $pH=8.0\pm 0.2$ باشد [۱۴]. قبل از تلقیح ابتدا یک دقیقه فرست داده شد تا سلول های *P.caudatum* با مکان جدید (لام سدویک) سازگار شوند. سپس مواد فوق الذکر در نقطه مشخصی از لام سدویک (که در زیر لنز $4\times$ تحت $4X$ میکروسکوپ نوری تنظیم شده بود) تلقیح و رفتار سلول های *P.caudatum* در نقطه تلقیح از طریق لنز $4\times$ میکروسکوپ نوری ($4X$) مشاهده و بررسی گردید.

به منظور بررسی رفتار جانور تک یاخته ای پس از تلقیح رفتار این حیوان از طریق شمارش تعداد سلول های *P.caudatum* در نقطه تلقیح درون لام استاندارد سدویک-رافتر طی فواصل زمانی $0, 5, 10, 15, 30, 60, 120, 180$ و 240 دقیقه میدان دید لنز $4\times$ (تحت $4X$) میکروسکوپ نوری مورد مطالعه قرار گرفت و محاسبات مربوطه ثبت گردید، لازم به ذکر است که تزریق هر دوز مشخص از دارو یا مواد مورد نظر حداقل ۵ بار تکرار شد.

در کنار مطالعات رفتاری و جمع آوری و تجزیه و تحلیل داده های مطالعات سیتوشیمیایی با روش سیتوشیمیایی NADPH-diaphorase [۱، ۲۳] برای بررسی تداخل سیستم NO با مرفین، انجام شد:

به منظور اجرای مراحل تکنیک NADPH-diaphorase هر نمونه (Sample) از سلول های *P.caudatum* را که قبلاً تحت تلقیح دوز های مشخصی از مواد قرار گرفته بودند، بر روی سطح لام های تمیزی منتقل، دقایقی در هوای آزمایشگاه خشک و فیکس گردید و سپس بر روی لام های فیکس شده،

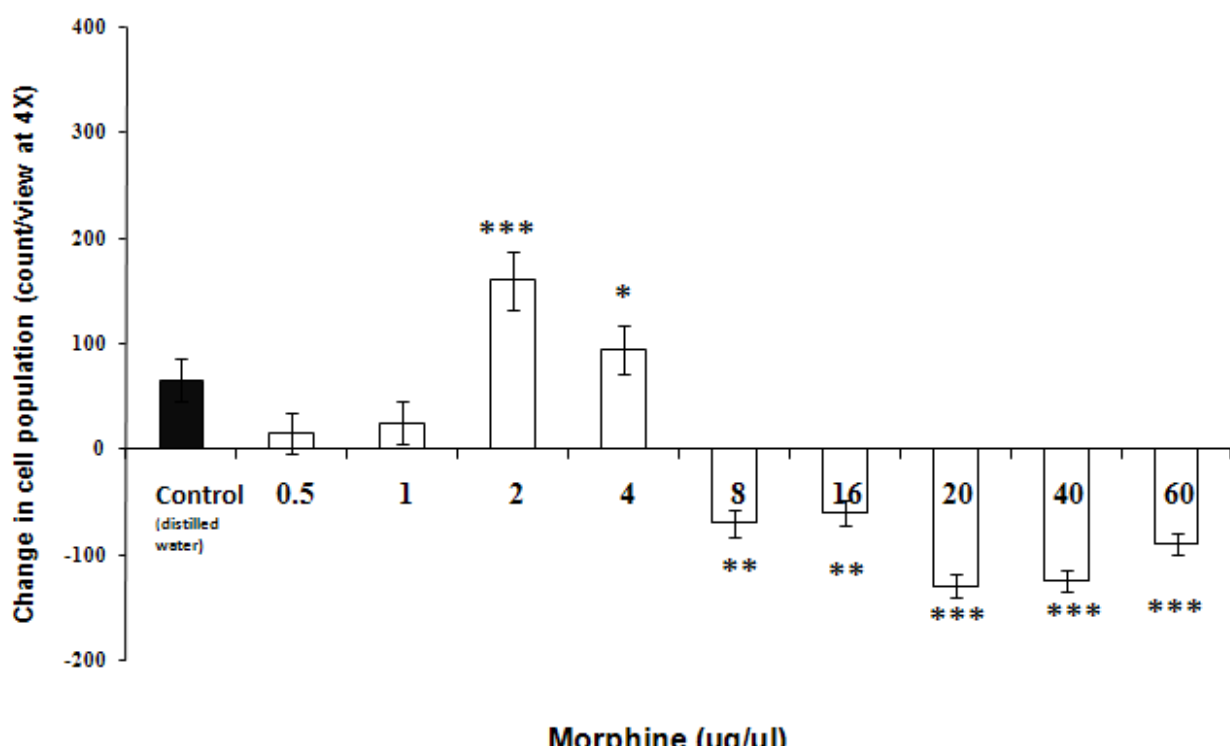
گرادیان غلظت ماده مذکور در نظر گرفته شد). پاسخ Morphine: شکل ۱ نشان دهنده پاسخ مرفین در *P.caeruleum* است. داده ها با آنالیز واریانس (ANOVA) یک طرفه مورد تجزیه و تحلیل قرار گرفت که با توجه به نتیجه آزمون: $F(9,30) = 97.813$, $p < 0.001$ (Post hoc نشان می دهد که مرفین در دوز $2 \mu\text{g}$ نسبت به سایر دوزها بیشترین افزایش را در تعداد سلول ها دارد.

پاسخ ال-آرژینین (L-Arginine): شکل ۲ نشان دهنده تاثیر دوزهای مختلف L-arginine ($\mu\text{g}/\mu\text{l}$) بر حسب مقدار میانگین \pm خطای استاندارد نمایش می شود. در مقایسه با کنترل به تنهایی بر سلول های *P.caeruleum* در میانگین \pm خطای استاندارد نمایش می شود. اخلاف تعداد سلول ها در ثانیه شصتم پس از تلقیح نسبت به ثانیه پنجم مبنای پاسخ رفتاری سلول های *P.caeruleum* به داروها در نظر گرفته شد (پنج ثانیه اول به عنوان زمان آشنازی و سازگاری حیوانات در مواجهه با ماده تلقیح شده و برقراری

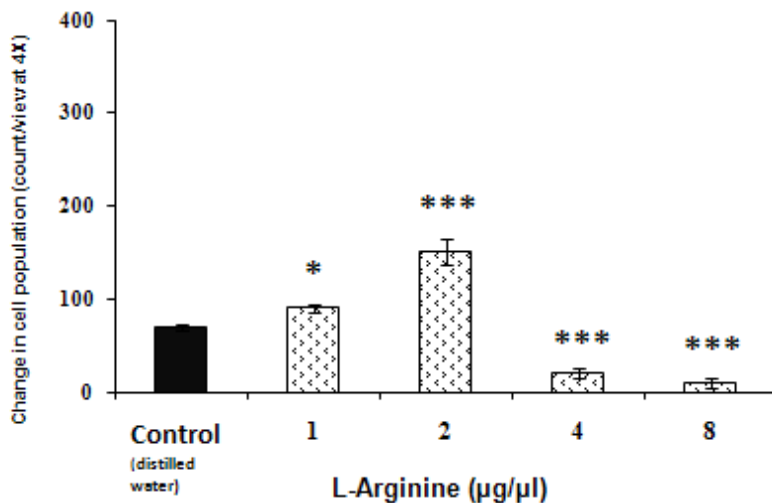
صورت حسابی (اختلاف تعداد) محاسبه و به صورت میانگین \pm خطای استاندارد نمایش داده شد. ضریب آلفا $\alpha = 0.05$ در نظر گرفته شد. برای تجزیه و تحلیل کمی و کیفی داده های مربوط به تکنیک سیتوشیمیایی NADPH-d با استفاده از نرم افزار Image Tool از هر نمونه لام عکس برداری به عمل آمد، و عکس ها در محیط این نرم افزار تحت کالیبراسیون در مساحت های ۱۰۰ میکرومتری مورد بررسی قرار گرفت.

یافته ها

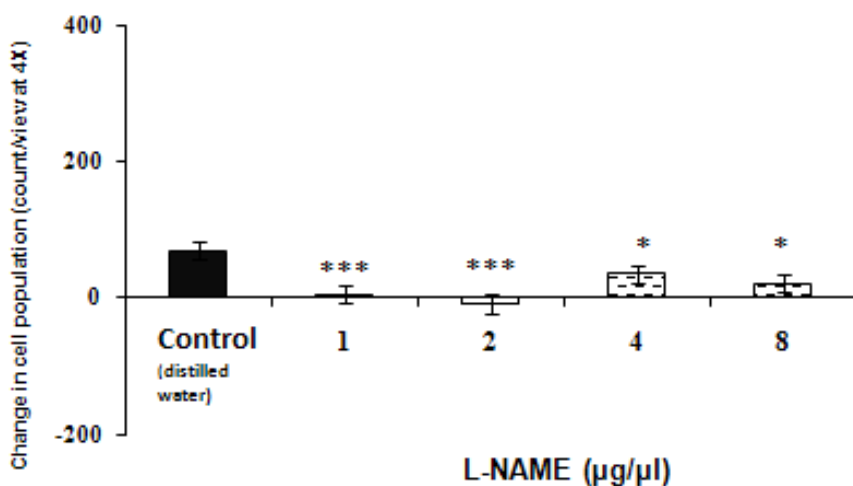
بر اساس مشاهدات رفتاری مربوط به زمان های مختلف (Time interval)، اخلاف تعداد سلول ها در ثانیه شصتم پس از تلقیح نسبت به ثانیه پنجم مبنای پاسخ رفتاری سلول های *P.caeruleum* به داروها در نظر گرفته شد (پنج ثانیه اول به عنوان زمان آشنازی و سازگاری حیوانات در مواجهه با ماده تلقیح شده و برقراری



شکل ۱- نمودار دوز-پاسخ مرفین در حیوان تک یاخته ای است دوزهای مختلف مرفین ($1, 2, 4, 8, 16, 20, 40, 60 \mu\text{g}/\mu\text{l}$) مطابق دستورالعمل مندرج در متن به حیوانات تجویز و در فواصل زمانی ۰ تا ۱۸۰ ثانیه رفتار آن ها به واسطه شمارش سلولی نسبت به کنترل که آب مقطمر بود ثبت گردید. داده ها به صورت میانگین \pm SEM اخلاف تعداد سلول های *P.caeruleum* در ثانیه شصتم پس از تلقیح نسبت به ثانیه پنجم (مطابق با مندرجات بخش روش ها)، تحت $4\times$ میکروسکوپ نوری ارائه شده است. با آنالیز Post hoc اختلافات نسبت به کنترل $p < 0.001$, $p < 0.01$, $p < 0.05$ و $p < 0.05$ می باشد.



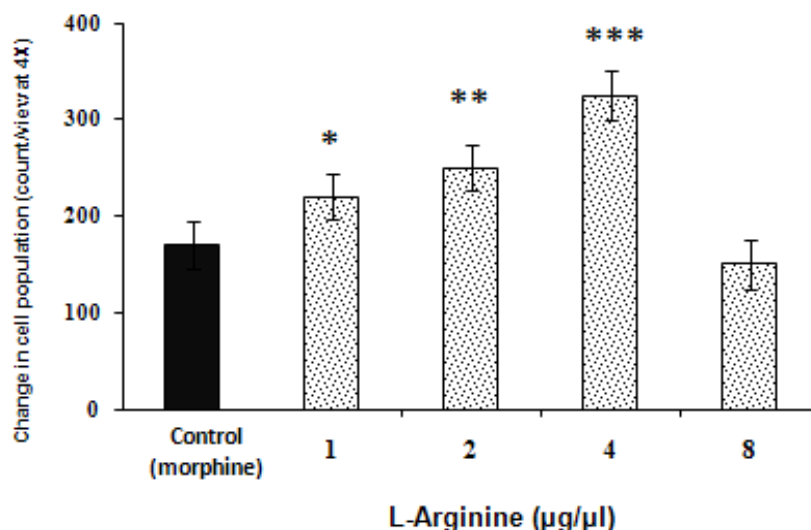
شکل ۲- پاسخ ال_آرژینین را به تنهایی در حیوان تک یاخته ای نشان می دهد. عامل (۴۸:۱:۲) مطابق دستورالعمل مندرج در متن به حیوانات تجویز و در فواصل زمانی ۰ تا ۱۸۰ ثانیه رفتار آن ها به واسطه شمارش سلولی نسبت به کنترل که آب مقطر بود ثبت گردید. داده ها به صورت میانگین Mean \pm SEM اختلاف تعداد سلول های *P.caudatum* در ثانیه شصتم پس از تلقیح نسبت به ثانیه پنجم (مطابق با مندرجات بخش روش ها)، تحت ۴X از میکروسکوپ نوری ارائه شده است. با آنالیز Post hoc اختلافات نسبت به کنترل $p<0.001$ و $p<0.05$ ** و $p<0.05$ * می باشد.



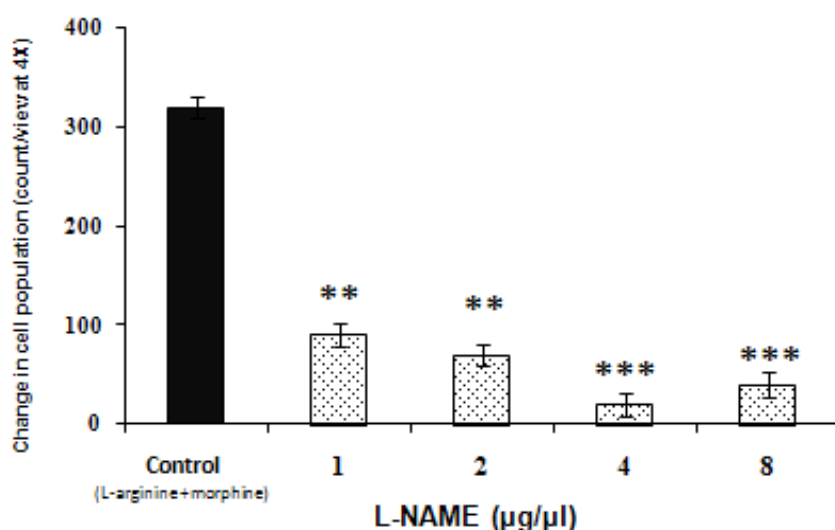
شکل ۳- پاسخ L-NAME را به تنهایی در حیوان تک یاخته ای نشان می دهد. عامل (۱۰:۴:۸) مطابق دستورالعمل مندرج در متن به حیوانات تجویز و در فواصل زمانی ۰ تا ۱۸۰ ثانیه رفتار حیوانات به واسطه شمارش سلولی نسبت به کنترل (آب مقطر) ثبت گردید. داده ها به صورت میانگین Mean \pm SEM اختلاف تعداد سلول های *P.caudatum* در ثانیه شصتم پس از تلقیح نسبت نشان به ثانیه پنجم (مطابق با مندرجات بخش روش ها)، تحت ۴X از میکروسکوپ نوری ارائه شده است. با آنالیز Post hoc اختلافات نسبت به کنترل $p<0.001$ *** و $p<0.05$ ** و $p<0.05$ * داده شد.

پنجم، تحت ۴X از میکروسکوپ نوری بارها محاسبه شد و میانگین داده ها \pm انحراف معیار گزارش گردید. گروه کنترل فقط آب مقطر را دریافت کرد. داده ها با آنالیز واریانس (ANOVA) یک طرفه مورد تجزیه و تحلیل قرار گرفت، که با توجه به نتیجه آزمون: ($F(4,19)=48.905$, $p<0.001$) اختلاف گروه ها با کنترل کاملاً معنی دار است. از آنالیز های Post hoc مشخص گردید که دوز $2 \mu\text{g}$ L-arg بیشترین افزایش را در تعداد سلول های *P.caudatum* به دنبال داشته است.

آنالیز های Post hoc مشخص گردید که دوز $2 \mu\text{g}$ L-arg نسبت به سایر دوز های L-arg بیشترین افزایش را در تعداد سلول های *P.caudatum* به دنبال داشته است. شکل ۳ پاسخ L-NAME را به تنهایی نشان می دهد. دوز های مختلف L-NAME ($8, 4, 2, 1 \mu\text{g}/\mu\text{l}$) به حیوانات تجویز و اختلاف تعداد سلول های *P.caudatum* در ثانیه شصتم پس از تلقیح نسبت به ثانیه



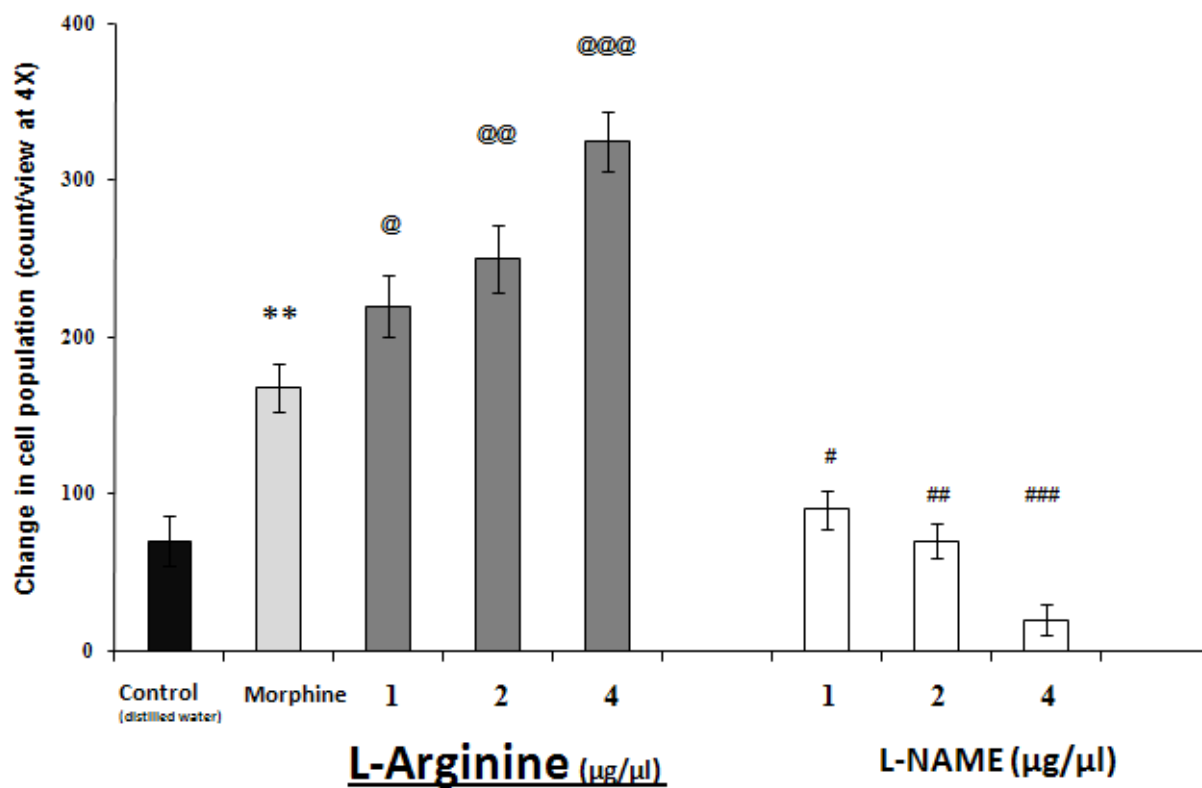
شکل ۴- پاسخ ال_آرژینین را همراه با مرفین در حیوان تک یاخته ای نشان می دهد. عامل سیستم نیتریک اکساید ($4 \mu\text{g}/\mu\text{l}$) مطابق دستورالعمل مندرج در متن مقدم بر دوز موثر مرفین ($2 \mu\text{g}/\mu\text{l}$) به حیوانات تجویز و در فواصل زمانی ۰ تا ۱۸۰ ثانیه رفتار آن ها به واسطه شمارش سلولی نسبت به کنترل که فقط مرفین ($2 \mu\text{g}/\mu\text{l}$) بود ثبت گردید. داده ها به صورت میانگین Mean \pm SEM اختلاف تعداد سلول های *P.caeruleum* در ثانیه شصتم پس از تلقیح نسبت به ثانیه پنجم (مطابق با مندرجات بخش روش ها)، تحت $4\times$ از میکروسکوپ نوری ارائه شده است. با آنالیز Post hoc اختلافات نسبت به کنترل $p<0.001$ *** و $p<0.05$ ** و $p<0.01$ * می باشد.



شکل ۵- پاسخ L -NAME را همراه با ال_آرژینین و مرفین در حیوان تک یاخته ای نشان می دهد. عامل سیستم نیتریک اکساید ($1-8 \mu\text{g}/\mu\text{l}$) مطابق دستورالعمل مندرج در متن مقدم بر دوز موثر ال_آرژینین ($2 \mu\text{g}/\mu\text{l}$) و این عامل اخیر مقدم بر مرفین ($2 \mu\text{g}/\mu\text{l}$) به حیوانات تجویز و در فواصل زمانی ۰ تا ۱۸۰ ثانیه رفتار آن ها به واسطه شمارش سلولی نسبت به کنترل که فقط مرفین ($2 \mu\text{g}/\mu\text{l}$) بود ثبت گردید. داده ها به صورت میانگین Mean \pm SEM اختلاف تعداد سلول های *P.caeruleum* در ثانیه شصتم پس از تلقیح نسبت به ثانیه پنجم (مطابق با مندرجات بخش روش ها)، تحت $4\times$ از میکروسکوپ نوری ارائه شده است. با آنالیز Post hoc اختلافات نسبت به کنترل مثبت $p<0.001$ *** و $p<0.01$ ** و $p<0.05$ * می باشد.

کردن. داده ها حاصل تکرار مکرر آزمایش و محاسبه میانگین \pm انحراف معیار است. آنالیز واریانس (ANOVA) این داده ها اختلاف کاملاً معنی دار را نشان می دهد: ($F(4,15)=76.786$, $p<0.001$) می باشد. آنالیز بیشتر حاکی است که دوز $2 \mu\text{g}$ L-Arg (نسبت به سایر دوز های L-Arg) به همراه دوز $2 \mu\text{g}$ Morphine بیشترین افزایش را در تعداد سلول های

پاسخ مشترک مرفین و ال_آرژینین ($L\text{-arg}+2 \mu\text{g}$ Morphine): شکل ۴ پاسخ مشترک مرفین و ال_آرژینین را نشان می دهد. محور افقی نشان دهنده دوز های مختلف L -Arg+ $2 \mu\text{g}$ Morphine ($2, 4, 8 \mu\text{g}/\mu\text{l}$) بر حسب $\mu\text{g}/\mu\text{l}$ می باشد که نسبت به کنترل مورد مقایسه قرار گرفتند. کنترل مذکور را نمونه های تشکیل دادند که تنها دوز موثر مرفین را دریافت



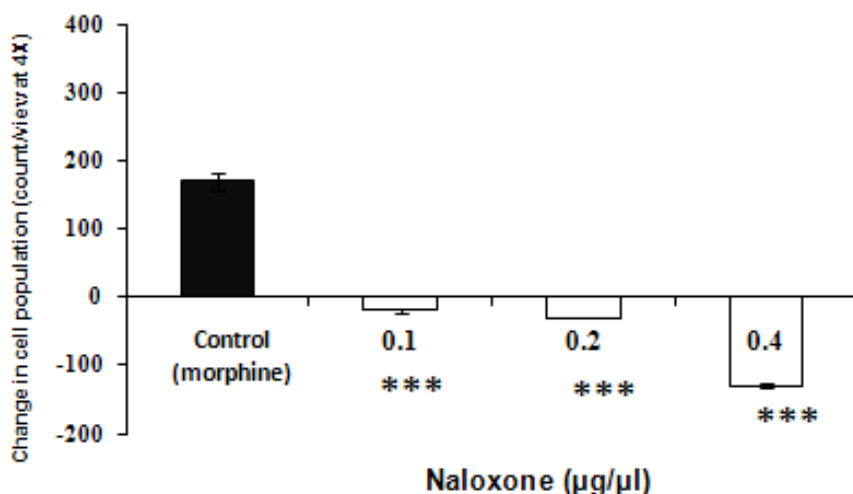
شکل ۶- پاسخ ال-آرژینین و یا پاسخ ترکیبی ال-آرژینین و L-NAME را همراه با مرفین در حیوان تک یاخته ای نشان می دهد. عامل پیش ساز (ال-آرژینین) ($4 \mu\text{g}/\mu\text{l}$) یا به تنهایی مقدم بر دوز موثر مرفین ($2 \mu\text{g}/\mu\text{l}$) تجویز شد و یا مهار کننده سیستم نیتریک اکساید ($1-8 \mu\text{g}/\mu\text{l}$) مطابق دستورالعمل مندرج در متن مقدم بر دوز موثر ال-آرژینین ($4 \mu\text{g}/\mu\text{l}$) و این عامل اغیر مقدم بر مرفین ($1 \mu\text{g}/\mu\text{l}$) به حیوانات تجویز و در فواصل زمانی ۰ تا ۱۸۰ ثانیه رفل آن ها به واسطه شمارش سلولی نسبت به کنترل های منفی (فقط آب مقطمر) و مثبت (مرفین $1 \mu\text{g}/\mu\text{l}$) ثبت گردید. داده ها به صورت میانگین Mean \pm SEM اختلاف تعداد سلول های *P.caudatum* در ثانیه شصتم پس از تلقیح نسبت به ثانیه پنجم (مطابق با مندرجات بخش روش ها) تحت $4\times$ از میکروسکوپ نوری ارائه شده است. با آنالیز Post hoc اختلافات نسبت به کنترل مثبت $p<0.001$ *** و $p<0.01$ ** و $p<0.05$ * می باشد.

عامل مهار کننده آنزیم مولد نیتریک اکساید و پیش ساز این مولکول (نیتریک اکساید) در حیوانات در شکل ۶ نمایش داده شده است. همانگونه که این تصویر نشان می دهد با مهار آنزیم اثرات تقویتی متوقف شد که این امر بر مشارکت نیتریک اکساید در پاسخ تقویت شده دلالت دارد.

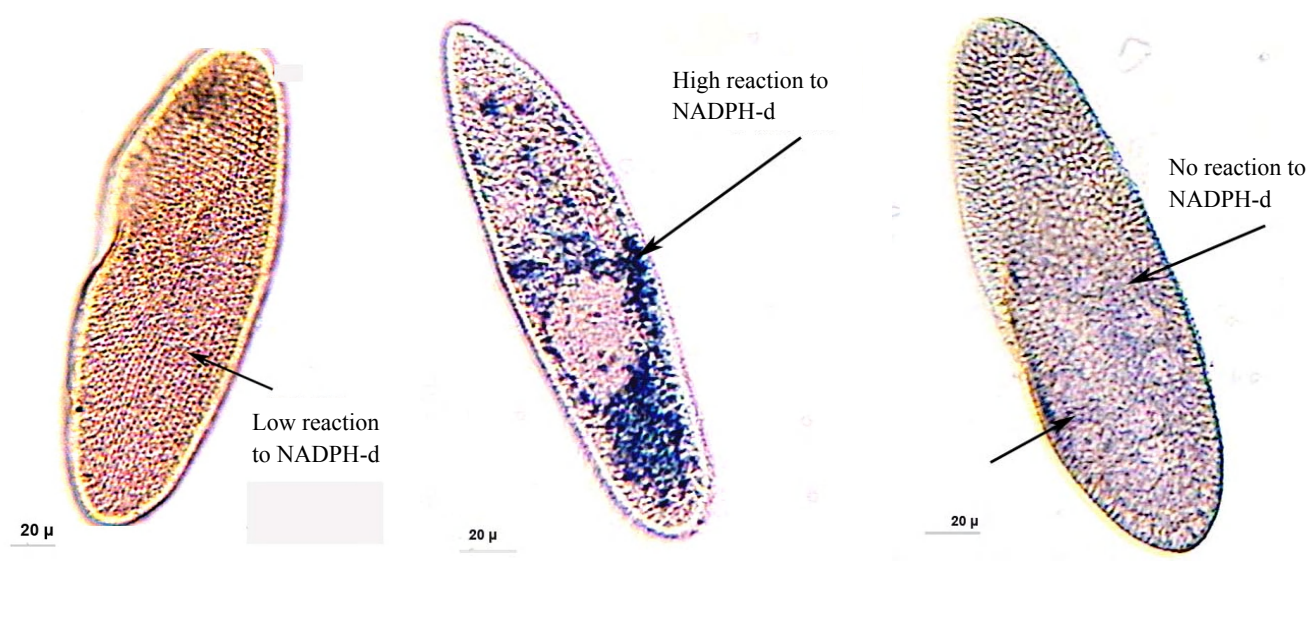
پاسخ مشترک مرفین و نالوکسون: (Naloxone+Morphine) شکل ۷ این پاسخ را نشان می دهد. محور افقی نشان دهنده می دهد. محور افقی نشان دهنده آن است که دوزهای مختلف نالوکسون ($0.01, 0.02, 0.04 \mu\text{g}/\mu\text{l}$) مقدم بر دوز موثر مرفین ($2 \mu\text{g}/\mu\text{l}$) تجویز شده است و داده ها با آنالیز واریانس (ANOVA) یک طرفه مورد تجزیه و تحلیل قرار گرفت، که با توجه به نتیجه آزمون $F(4,19)=400.856$, $p<0.001$ اختلاف گروهها با کنترل که نمونه L-NAME است کاملاً معنی دار می باشد. در دوز $4 \mu\text{g}$ L-NAME نسبت به سایر دوزها بیشترین کاهش در تعداد سلول های *P.caudatum* رخ داده است. به منظور مقایسه اثرات تقویتی ال-آرژینین بر پاسخ مرفین و اینکه این اثرات به واسطه نیتریک اکساید و نه ال-آرژینین است پاسخ ترکیبی

P.caudatum به دنبال داشته است.

پاسخ مشترک L-NAME+L-Arginine+Morphine شکل ۵ این پاسخ را نشان می دهد. محور افقی نشان دهنده دوزهای مختلف L- NAME ($1, 2, 4 \mu\text{g}/\mu\text{l}$) است که مقدم بر $2 \mu\text{g}$ Morphine و آن مقدم بر $4 \mu\text{g}$ L- arg تجویز شد. پس از محاسبه داده ها مطابق قسمت های دیگر داده ها با آنالیز واریانس (ANOVA) یک طرفه مورد تجزیه و تحلیل قرار گرفت، که با توجه به نتیجه آزمون $F(4,19)=1.037$, $p<0.001$ اختلاف گروهها با کنترل که نمونه L-NAME است کاملاً معنی دار می باشد. در دوز $4 \mu\text{g}$ L- NAME نسبت به سایر دوزها بیشترین کاهش در تعداد سلول های *P.caudatum* رخ داده است. به منظور مقایسه اثرات تقویتی ال-آرژینین بر پاسخ مرفین و اینکه این اثرات به واسطه نیتریک اکساید و نه ال-آرژینین است پاسخ ترکیبی



شکل ۷- پاسخ نالوکسون را همراه با مرفین در حیوان تک یاخته ای نشان می دهد. عامل رقابتی ($\mu\text{g}/\mu\text{l}$) مطابق دستورالعمل مندرج در متن مقدم بر دوز موثر مرفین ($2 \mu\text{g}/\mu\text{l}$) به حیوانات تجویز و در فواصل زمانی ۰-۱۸۰ ثانیه رفتار آن ها به واسطه شمارش سلولی نسبت به کنترل که فقط مرفین ($2 \mu\text{g}/\mu\text{l}$) بود ثبت گردید. داده ها به صورت میانگین Mean \pm SEM اختلاف تعداد سلول های *P. caudatum* در ثانیه شصتم پس از تلقیح نسبت به ثانیه پنجم (مطابق با مندرجات بخش روش ها)، تحت ۴X از میکروسکوپ نوری ارائه شده است. با آنالیز Post hoc اختلافات نسبت به کنترل مشتی $p<0.001$ *** می باشد.



شکل ۸- این شکل شواهد سیتولوژیک را با استفاده از روش سیتوشیمیایی NO در سلول های *P. caudatum* برای نشان دادن فعالیت سیستم NADPH-diaphorase نشان می دهد. با این روش تحت شرایط مختلف: A: دوز موثر مرفین به تنهاei B: دوز موثر مرفین همراه با ال-آرژینین و L-NAME، میزان و شدت رنگ آبی تولید شده که شاخصی از میزان فعالیت سیستم NO (فعالیت آنزیم NOS) می باشد، تغییر کرده است. پیکان ها موقعیت واکنش NADPH-diaphorase را نشان می دهد.

فعالیت سیستم NO در سلول های *P. caudatum* نشان داده شد. شواهد به دست آمده با این روش سیتوشیمیایی مشخص کننده آن است که تحت شرایط مختلف میزان و شدت رنگ آبی تولید شده، شاخصی از میزان فعالیت سیستم NO (فعالیت

بیشتر مشخص کرد که اثر مهاری Naloxone بر قدرت مرفین (Morphine Potency) با افزایش غلظت (دوز) بیشتر می شود. علاوه بر شواهد رفتاری با استفاده از روش سیتوشیمیایی NADPH-diaphorase (مندرج در قسمت مواد و روش ها)

یافته می تواند بیانگر این امر باشد که وجود سیستم NO در سلول های *P.caadatum* بسیار محتمل است. در تأیید این احتمال می توان به پاسخ منفی این سلول ها به ماده L-NAME اشاره کرد که NAME به عنوان یکی از مهار کننده های اصلی سیستم NO [۶] با مهار این سیستم در درون سلول می تواند عامل دفع *P.caadatum* در نقطه تلقیح باشد. در تلقیح مشترک مرفین با هر یک از مواد L-arginine, L-arginine NAME و Naloxone، همانگونه که در بخش نتایج ذکر شد، می توان به نکات جالبی اشاره کرد، به طور مثال در تلقیح مشترک مرفین و ال-آرژینین، یافته ها در سطح رفتاری و فارماکولوژیک بیانگر تأثیر مثبت و قابل توجه ال-آرژینین در افزایش قدرت مرفین (Morphine Potency) می باشد، به طوریکه پاسخ ایجاد شده در دوز مؤثر $4 \mu\text{g}$ L-arg+ $2 \mu\text{g}$ Morphine بسیار بیشتر از دوز مؤثر مرفین ($2 \mu\text{g}$ Morphine) به تنها یابی (حالت کنترل) می باشد، و اما در سطح ملکولی با توجه به تأثیر ال-آرژینین (به عنوان یکی از اجزای اصلی سیستم NO) در تولید NO نتیجه می شود که وجود سیستم NO در سلول های *P.caadatum* بسیار محتمل می باشد. در ضمن احتمالاً سیستم سیگنالینگ NO در تداخل مثبت با مرفین (Morphine Potency) است، چرا که به دنبال تأثیر ال-آرژینین و تولید NO، قدرت مرفین در ایجاد پاسخ مثبت توسط سلول های *P.caadatum* بسیار بیشتر از قدرت مرفین بدون تزریق ال-آرژینین (حالت کنترل) می باشد. همچنین در تلقیح مشترک مرفین، ال-آرژینین و L-NAME یافته ها دال بر تأیید مباحث فوق می باشد، این یافته ها در سطح رفتاری و فارماکولوژیک بیانگر تأثیر مهاری L-NAME بر سیستم NO و به دنبال آن کاهش قدرت مرفین بر سیستم NO و به دنبال آن کاهش قدرت مرفین ۴ μg L-NAME + $4 \mu\text{g}$ L-arg + $2 \mu\text{g}$ Morphine به حالت کنترل (Morphine Potency) می باشد، به طوریکه در دوز مؤثر $4 \mu\text{g}$ L-arg+ $2 \mu\text{g}$ Morphine ایجاد شده شدیداً کاهش یافته است. اما در سطح ملکولی، تأکید مجددی بر وجود سیستم NO و تداخل مثبت این سیستم با مرفین می باشد و در نهایت، پاسخ منفی سلول های *P.caadatum* می تواند در بر دارنده اطلاعات بیشتری در مورد وجود رسپتورهای اپیوئیدی در این جانوران تک یاخته ای باشد.

آنژیم NOS) بوده و با نمونه شاهد تفاوت داشته است، که با آنالیز داده ها تغییر فعالیت آنژیم NOS نشان داده شده است (شکل ۸).

بحث

مرفین سلول های *P.caadatum* را مجتمع کرد و ال-آرژینین بر این پاسخ، تاثیر مثبت و تقویتی نشان داد، در مقابل شدت پاسخ در این جانوران با پیش تجویز Naloxone (به عنوان مهارگر سیستم اپیوئیدی [۷] و L-NAME [۶] کاهش یافت، همچنین این جانوران در حالت کنترل (بدون تلقیح هر گونه ماده ای) نیز تجمع کم تعادل دمایی بدن جانور باشد. چرا که این جانوران تک یاخته ای برای تنظیم گرمای بدن خود، سعی در تجمع در یک نقطه را دارند [۱۴]، و اما در پاسخ مرفین، می توان به طور کلی در سطح رفتاری و فارماکولوژیک نتیجه گرفت که سلول های *P.caadatum* نسبت به دوزهای مختلف مرفین پاسخ های متفاوتی از خود نشان می دهند، به طوری که در دوز $2 \mu\text{g}$ مرفین حداقل قدرت مرفین (Morphine potency) در ایجاد تجمع سلول های *P.caadatum* رخ داده است، در حالی که در دوزهای بالاتر مرفین ($8 \mu\text{g}$ و $16 \mu\text{g}$ و $20 \mu\text{g}$ و $40 \mu\text{g}$ و $60 \mu\text{g}$) پاسخ منفی است، و کاهش شدید تعداد سلول های *P.caadatum* و در نتیجه کاهش قدرت مرفین (Morphine potency) مشاهده می شود. این امر نشان دهنده پاسخ وابسته به دوز بوده و بروز تعدادی از اثرات جانبی را توسط دارو منعکس می کند [۲۱]. این یافته در سطح ملکولی به طور کلی بیانگر وجود سیستم سیگنالینگ مرفین (رسپتورها و ملکول های سیگنالینگ) در سلول های *P.caadatum* می باشد که در توضیح پاسخ Naloxone ذیلاً در مورد آن بیشتر بحث خواهد شد. و اما در توجیح پاسخ ال-آرژینین یافته ها در سطح رفتاری بیانگر این است که سلول های *P.caadatum* نسبت به ال-آرژینین پاسخ مثبتی از خود نشان می دهند یعنی ال-آرژینین به عنوان یکی از اجزای اصلی سیستم نیتریک اکساید [۸]، با تولید NO در درون سلول می تواند عامل جذب سلول های *P.caadatum* در نقطه تلقیح باشد، و اما در سطح ملکولی این

آن با مر芬ین تاثیر این ماده مخدر همراه با ال-آرژینین در تشیدی فعالیت آنزیم NOS قابل مشاهده می‌باشد (شکل B.۸). در تائید این یافته می‌توان به نتایج بررسی سیتولوژیک در نمونه هایی که با پیش تجویز مهار گر آنزیم مذکور مواجه بودند اشاره کرد که در این شرایط شدت فعالیت آنزیم نسبت به تیمار مشترک مر芬ین و ال-آرژینین به طور معنی دار کاهش نشان داد (شکل C.۸).

با توجه به اطلاعات بدست آمده در بخش نتایج، سلولهای *P.caudatum* در دوز های مشخصی به مر芬ین پاسخ مثبت می‌دهند (نمودار دوز-پاسخ مر芬ین)، و این پاسخ مثبت در دوز های مشخصی از ال-آرژینین همراه با مر芬ین افزایش یافته و تقویت می‌شود (نمودار دوز-پاسخ Morphine +ال-آرژینین). این اثر افزایشی و تقویت کننده ال-آرژینین در پاسخ به مر芬ین می‌تواند از نظر بهداشتی و کلینیک بسیار حائز اهمیت باشد، چرا که اگر بتوان در بیماران تحت درمان با مر芬ین با استفاده همزمان مر芬ین و ال-آرژینین دوز مؤثر مر芬ین را کاهش داد، این مسئله (کاهش دوز مؤثر مر芬ین) می‌تواند در راستای کاهش اثرات جانبی مر芬ین از قبیل وابستگی (Dependence) و اعتیاد (Addiction) و همچنین مباحث مربوط به اقتصاد دارویی (Pharmacoeconomic) گام مؤثری تلقی شود. از این رو مطالعه تکمیلی بر روی این مدل حیوانی به منظور بهره برداری دقیق از یافته های این پژوهش و تعمیم یافته های حاصل به انواع مهره دار و حتی انسان مورد پیشنهاد است چرا که این حیوانات نه تنها با توجه به اساس سلولی حیات پایه های قابلیت های زیستی را نمایان می‌کنند بلکه به دلیل برخورداری از توازن فیزیولوژیک در سطح یک سلول در نوع خود بسیار پیچیده و منحصر به فرد و از نظر مطالعاتی فوق العاده جالب هستند.

سپاسگزاری

این پژوهش با حمایت مالی دانشگاه شاهد انجام شده است و از این رو مولفان از معاونت محترم پژوهشی دانشکده علوم پایه و دانشگاه سپاسگزارند.

با توجه به اینکه Naloxone به عنوان آنتاگونیست رقبابتی (در برابر مر芬ین) برای تصاحب رسپتور μ عمل می‌کند [۷]، وجود رسپتور μ در *P.caudatum* بسیار محتمل می‌شود. از طرف دیگر می‌توان فرض کرد که قدرت مر芬ین (Morphine) با عملکرد رسپتور μ رابطه تنگاتنگ و مستقیمی دارد [۲۱]. احتمالاً دوزهای $۰/۵$ و ۱ میکروگرم مر芬ین (نمودار *P.caudatum* دوز-پاسخ مر芬ین)، کاهش در تعداد سلول های *P.caudatum* را به واسطه کافی نبودن غلظت (دوز) مر芬ین برای تحریک و فعال کردن رسپتورهای اپیوپیدی نشان دادند، که البته این مشکل غلظت (دوز) برای فعال کردن رسپتور μ در دوزهای ۲ و ۴ میکروگرم مر芬ین مرتفع شده است، به طوریکه بیشترین افزایش قدرت مر芬ین در دوز $۲\ \mu\text{g}$ مر芬ین قابل مشاهده است. و اما در دوزهای ۸ و ۱۶ و ۳۰ و ۶۰ میکروگرم مر芬ین می‌توان علت کاهش در تعداد سلول های *P.caudatum* (کاهش قدرت مر芬ین) نسبت به سایر دوزهای مر芬ین را در رابطه با تداخل عمل رسپتورهای اپیوپیدی (μ و δ و κ) با یکدیگر توجیه کرد [۲۱]، چراکه احتمالاً در غلظت های (دوزهای) بالای مر芬ین، علاوه بر رسپتور μ ، رسپتورهای دیگر (δ و κ) نیز تحریک و فعال می‌شوند، ولی از آنجاییکه سیگنانلینگی که در اثر فعالیت یک رسپتور به راه می‌افتد، ممکن است سیگنانلینگ رسپتور دیگر را مهار کند [۲۱، ۲]. می‌توان چنین در نظر گرفت که اولاً رسپتور μ تحریک پذیرتر از رسپتورهای δ و κ می‌باشد، که این مساله می‌تواند توجیه کننده حالت تقریباً سینوسی نمودار دوز-پاسخ مر芬ین (شکل ۱) باشد. دیگر اینکه عملکرد رسپتورهای δ و κ مانع اعمال اثر رسپتور μ می‌شود و در نتیجه کاهش قدرت مر芬ین (Morphine Potency) در دوزهای بالای مر芬ین (۸ و ۱۶ و ۳۰ و ۶۰ میکروگرم) اتفاق می‌افتد.

در کلیه این جریانات دخالت سیستم نیتریک اکساید به واسطه مطالعه سیتولوژیک نیز بررسی گردید و نتایج با یافته های رفتاری و فارماکولوژیک تطابق نشان می‌دهد. بر اساس شواهد سیتولوژیک بدست آمده در حیوانات تحت تجویز مر芬ین شدت فعالیت این سیستم کم (شکل A) ولی در تجویز مشترک با ال-آرژینین این شدت به طور معنی دار تشیدی می‌یابد، این امر حاکی از آن است که این پیش ساز احتمالاً به عنوان محرکی موثر باعث تقویت فعالیت آنزیم مولد نیتریک اکساید شده است [۸]، و از آنجا به دلیل تداخل مثبت

References

- [1] Amaroli A, Ognibene M, Trielli F, Trombino S, Falugi C, Corrado MUD, Detection of NADPH-diaphorase activity in *Paramecium primaurelia*. *Eur J Protistol* 42 (2006) 201-8.
- [2] Bourne HR, Zastrow MV, Drug Receptor& Pharmacodynamics. In: Katzung BG, editor. *Basic and clinical pharmacology*. London: McGraw Hill, 2007, p. 11-33.
- [3] Bredt DS, Snyder SH, Isolation of nitric oxide synthetase, a calmodulin-requiring enzyme. *Proc. Natl. Acad. Sci. USA* 87 (1990) 682-5.
- [4] Chan CW, Saimi Y, Kung C, A new multigene family encoding calcium-dependent calmodulin-binding membrane proteins of *Paramecium tetraurelia*. *Gene* 231 (1999) 21-32.
- [5] Dambisya YM, Lee TL, Role of nitric oxide in the induction and expression of morphine tolerance and dependence in mice. *Br J Pharmacol* 117 (5) (1996) 914-18.
- [6] Gammie SC, Dawson VL, Nelson RJ, Influence of Nitric Oxide on Neuroendocrine Function and Behavior. In: Ignarro LJ, editor. *Nitric oxide, biology and pathobiology*. New York: Academic press, 2000, p. 429- 39.
- [7] Gutstein HB, Akil H, Opioid Analgesics In: Brunton LL, editor. Goodman & Gilman's *The Pharmacological Basic of Therapeutics*. London: McGraw Hill, 21th ed. 2005, p.547-90.
- [8] Ignarro LJ, Introduction and Overview. In: Ignarro LJ, editor. *Nitric oxide, biology and pathobiology*. New York: Academic press, 2000, p. 3-20.
- [9] Imada C, Oosawa Y, Thermoreception of *Paramecium*: different Ca²⁺channels were activated by heating and cooling. *J Mem Biol* 168 (1999) 283-87.
- [10] Karami M, Biosystematic of fresh water protozoa (Msc thesis). Tehran: Tehran University, 1991.
- [11] Karami M, Fresh water protozoa; a beginner's guide for collection, isolation, and cultivation. Tehran: Shahed University publishing center, 1996.
- [12] Karami M, Zarrindast MR, Sepehri H, Sahraei H, Role of nitric oxide in the rat hippocampal CA₁ area on morphine-induced conditioned place preference. *Eur J Pharmacol* 449 (2002) 113-19.
- [13] Linder JU, Engel P, Reimer A, Kruger T, Plattner H, Schultz A, Schultz JE, Guanylyl cyclases with the topology of mammalian adenylyl cyclases and an N-terminal P-type ATPase-like domain in *Paramecium*, *Tetrahymena* and *Plasmodium*. *EMBO J.* 18 (1999) 4222-32.
- [14] Malvin GM, Cecava N, Nelin LD, Nitric oxide production and thermoregulation in *Paramecium caudatum*. *Acta Protozool* 42 (2003) 259-67.
- [15] Marino MJ, Sherman TG, Wood DC, Partial Cloning of Putative G-Proteins Modulating Mechanotransduction in the Ciliate *Stentor*. *J Euk Microbiol* 48 (5) (2001) 527-36.
- [16] Marino MJ, Wood DC, β-endorphin modulates a mechanoreceptor channel in the protozoan *Stentor*. *J Comp Physiol* 173 (1993) 233-40.
- [17] Nathan C, Nitric oxide as a secretory product of mammalian cells. *FASEB J* 6 (1992) 3051-64.
- [18] Powell JK, Hosokawa A, Bell A, Sutak M, Milne B, Quirion R, Jhamandas K, Comparative effects of cyclooxygenase and nitric oxide synthase inhibition on the development and reversal of spinal opioid tolerance. *Br J Pharmacol* 127 (1999) 631-44.
- [19] Prajer M, Fleury A, Laurent M, Dynamics of calcium regulation in *Paramecium* and possible morphogenetic implication. *J Cell Sci* 110 (1997) 529-35.
- [20] Preston RR, Saimi Y, Kung C, Calcium current activated upon hyperpolarization of *Paramecium tetraurelia*. *J Gen Physiol* 100 (1992) 233-51.
- [21] Schumacher MA, Basbaum I, Way WL, Opioid Analgesics & Antagonists. In: Katzung BG, editor. *Basic and clinical pharmacology*. London: McGraw Hill, 2007, p 489-510.
- [22] Thiele J, Schultz JE, Ciliary membrane vesicles of *Paramecium* contains the voltage-sensitive calcium channel. *Proc Nat Acad Sci USA* 78 (1981) 3688-91.
- [23] Weinberg RG, Valtschanoff JG, Schmidt HHW, The NADPH diaphorase histochemical staining In: Stamler J, Ferelisch M, editors. *Methods in Nitric Oxide Research*, New York: John Wiley & Sons Ltd., 1996, p. 237- 48.
- [24] Zarrindast MR, Karami M, Sepehri H, Sahraei H, influence of nitric oxide on morphine-induced conditioned place preference in the rat central amygdala. *Eur J Pharmacol* 453 (2002) 81-89.
- [25] Zhu W, Pryor SC, Putnam J, Cadet P, Stefano GB, Opiate alkaloids and nitric oxide production in the nematode *Ascaris suum*. *J Parasitol* 90 (1) (2004) 15-22.